

HDR Measurement and analysis of the straylight point spread function

Julian Achatzi,¹ Gregor Fischer,¹ Volker Zimmer,²
Dietrich Paulus,³ Gerhard Bonnet⁴

¹Cologne University of Applied Sciences, Germany

²Leica Camera AG, Wetzlar, Germany

³University Koblenz Landau, Germany

⁴SPHERON-VR AG, Waldfischbach-Burgalben, Germany

25. September 2014

Gliederung

1 Einleitung

- State of the Art

2 Unsere Methode

- Messung
- Theoretisch erreichbarer Dynamikumfang
- Anwendungen
 - Streulicht Maß
 - Auflösungs-Messung
- Nachteile

3 Zusammenfassung



Streulicht

- Unerwünschtes Licht (z.B. durch Fresnel Reflektionen, Staub, Streuung am Gehäuse)[Wei and Cao, 2009]
- Verringert den Dynamikumfang von HDR-Kameras[McCann and Rizzi, 2007]
- Fehler in Farbmessungen[Jansson et al., 1998, Zong et al., 2005, Feinholz et al., 2012]



Streulicht Messung

DIN 58186 [DIN, 1982], ISO 9358:1994[ISO, 1994]

- Target: Gleichmäßig weiße Fläche mit Lichtfalle
- Maß: Verhältnis der Intensität im Bild der Lichtfalle zur selbigen in der Umgebung



HDR Messung der PSF

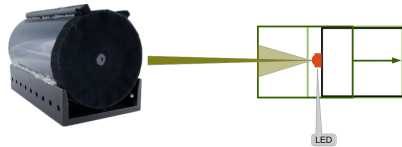
Talvala et al., 2007 [Talvala et al., 2007]

- HDR-Bilder einer weißen LED aus Belichtungsreihe
- Fusionierungs Algorithmus von Debevec und Malik[Debevec and Malik, 1998]



Messaufbau

- Streulichtarmer Raum
- LED in Aluminium-Gehäuse mit kleiner Blende
- Kamera auf pan/tilt-Kopf



Messablauf

HDR-Problem

Eine normale Belichtungsreihe führt zu starken Rauschen in den Schatten.

Die Verwendung einer helleren LED führt zu clipping.

Lösung I

Zusätzliche Bilder mit variierter Intensität der LED



LED Steuerung

Einfache Lösung

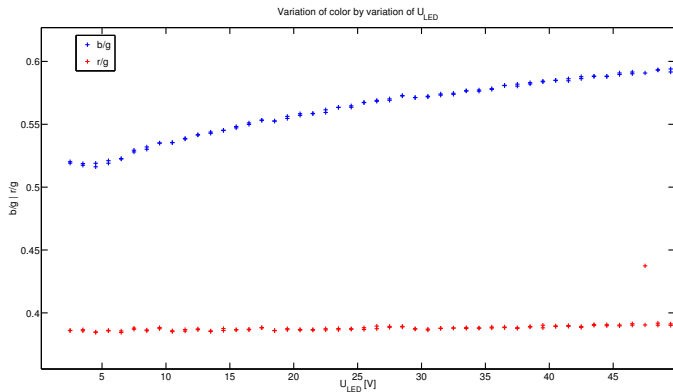
Netzteil mit über USB steuerbarer Spannung.

Problem

Zusammehang zwischen Spannung und Intensität ist nichtlinear
Das Emissionsspektrum der LED hängt von der Temperatur und
vom Strom ab [Senawiratne et al., 2010, Chhajed et al., 2005,
Keppens et al., 2010]

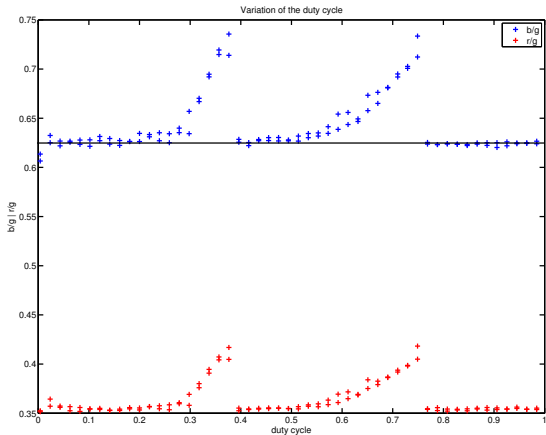


LED Steuerung



LED Steuerung - bessere Lösung

- Stromquelle mit Pulsweitenmodulation (PWM)
- PWM \Rightarrow virtuell kürzere Belichtungszeiten



Fusionierungs-Algorithmus von Granados et al.

[Granados et al., 2010]

$$y_i = t_i g(Xa + dc) + n_r$$

$$\hat{x}_i = \frac{y_i - d_i}{t_i g a}$$

$$\hat{X} = \frac{\sum_{i \in NC} \hat{x}_i w_i}{\sum_i w_i}, \text{ mit } NC = \{i \mid y_i < y_{clip}\}$$

$$w_i = \frac{1}{\sigma_{\hat{x}_i}^2} = \frac{t_i^2 g^2 a^2}{g^2 t_i (Xa + 2dc) + 2\sigma_r^2} = \frac{t_i^2 g^2 a^2}{\sigma_{y_i}^2 + \sigma_{d_i}^2}$$



HDR-Fusionierung mit PWM

$$y_i = t_i g(\textcolor{red}{c_i} X a + d c) + n_r$$

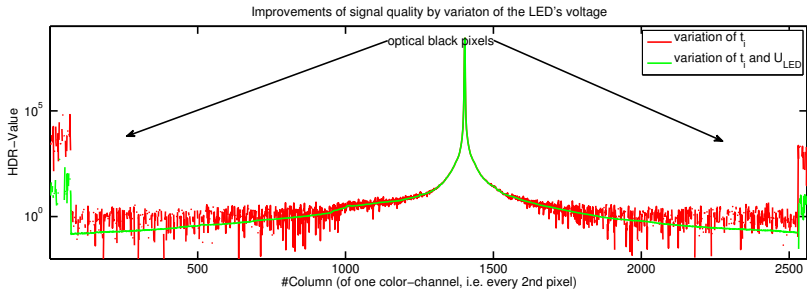
$$\hat{x}_i = \frac{y_i - d_i}{t_i g a \textcolor{red}{c_i}}$$

$$\hat{X} = \frac{\sum_{i \in NC} \hat{x}_i w_i}{\sum_i w_i}$$

$$w_i = \frac{1}{\sigma_{\hat{x}_i}^2} = \frac{\textcolor{red}{c_i^2} t_i^2 g^2 a^2}{g^2 t_i (\textcolor{red}{c_i} X a + 2 d c) + 2 \sigma_r^2} = \frac{\textcolor{red}{c_i^2} t_i^2 g^2 a^2}{\sigma_{y_i}^2 + \sigma_{d_i}^2}$$



Verbesserung der Signalqualität



Dynamikumfang

$$DR = \frac{X_{max}}{X_{NEE}}, \text{ width: } X_{NEE} \mid SNR_{\hat{X}}(X_{NEE}) = 1$$



Maximaler Wert von X

$X_{max} \Rightarrow v_{max} = v_{clip} - \sigma_{v_{max}}^2$ im Bild mit der kürzesten $t_i c_i$

$$X_{max} = \frac{\frac{v_{clip} - \sigma_r^2 - \mu_r}{gt_{min}(g+1)} - d}{ac_{min}}$$



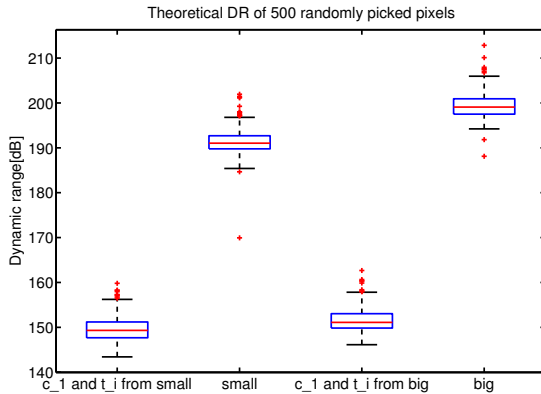
SNR von \hat{X}

$$\sigma_{\hat{X}}^2 = \frac{1}{\sum_{i \in NC} \frac{1}{\sigma_{\hat{x}_i}^2}} = \frac{1}{\sum_{i \in NC} \frac{t_i^2 g^2 a^2 c_i^2}{g^2 t_i (a c_i X + 2d) + 2\sigma_r^2}}$$

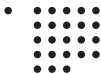
$$SNR_{\hat{X}}(X) = \frac{X}{\sigma_{\hat{X}}} = X \sqrt{\sum_{i \in NC} \frac{t_i^2 g^2 a^2 c_i^2}{g^2 t_i (a c_i X + 2d) + 2\sigma_r^2}}$$



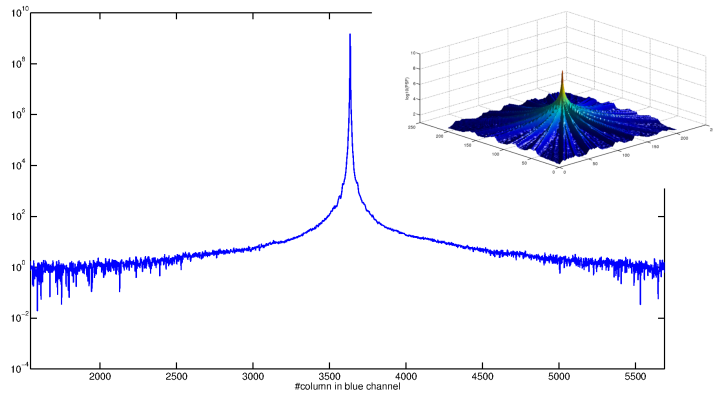
Theoretischer Dynamikumfang



Kamera: Leica S2, small: $N = 18$, 8 c_i and 11 t_i , big: $N = 30$, 14 c_i and 16 t_i



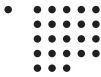
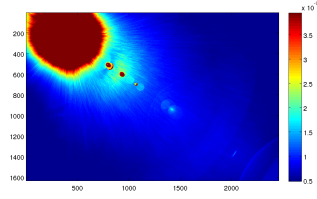
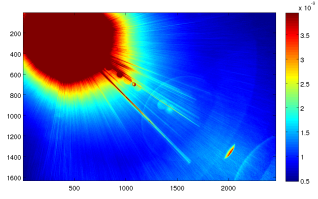
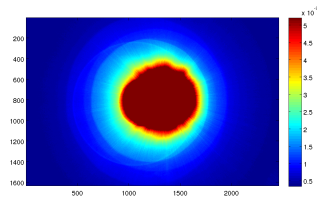
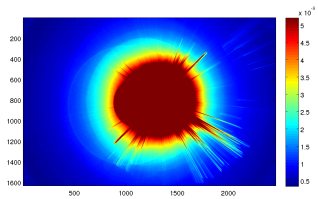
Beispiele



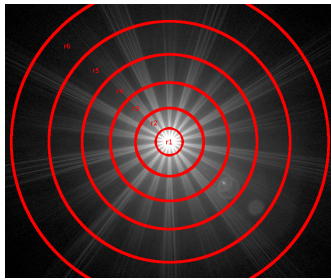
Kamera: Leica S2, Objektiv: Leica Summarit-S 1:2.5/35 ASPH.



Beispiele



Ein Streulicht Maß



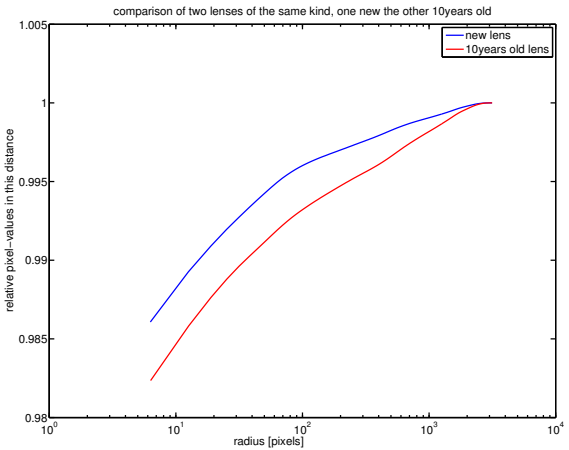
$$s_{(x_L, y_L)}(r) = \frac{\sum_{D(r_i)} \text{psf}(x, y)}{\sum \text{psf}(x, y)}$$

mit $D(r_i) = \{(x, y) \mid L(x, y) \leq r_i\}$

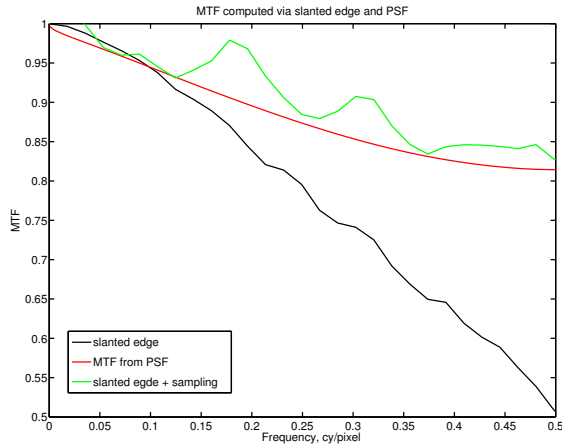
$$L(x, y) = \sqrt{(x - x_L)^2 + (y - y_L)^2}$$



Ein Streulicht Maß

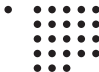


MTF-Messung



Nachteile

- LED (plus Apertur des Gehäuses) ist keine reale Punktlichtquelle
 - ⇒ Die gemessene PSF ist tiefpaßgefiltert
- Objektive/Kameras ohne Steuermöglichkeit für die Fokuseinstellung



Zusammenfassung

Unsere Methode

- Ermöglicht die Messung von PSFs mit sehr hohem Dynamikumfang
- Durch Verwendung von PWM um den Belichtungsbereich der Kamera zu erweitern
- Dadurch auch Messung hochqualitativer Systeme möglich



Vielen Dank für Ihre Aufmerksamkeit

Referenzen:

- Chhajed, S., Xi, Y., Li, Y.-L., Gessmann, T., and Schubert, E. (2005). Influence of junction temperature on chromaticity and color-rendering properties of trichromatic white-light sources based on light-emitting diodes. *Journal of Applied Physics*, 97(5):054506.
- Debevec, P. and Malik, J. (1998). Recovering high dynamic range radiance maps from photographs. In *Proceedings of the 24th annual conference on Computer graphics and interactive techniques (SIGGRAPH '97)*, pages 369–378. ACM Press/Addison-Wesley Publishing Co.
- DIN (1982). DIN 58186 Qualitätsbewertung optischer Systeme - Bestimmung des Falschlichts.
- Feinholz, M. E., Flora, S. J., Brown, S. W., Zong, Y., Lykke, K. R., Yarbrough, M. a., Johnson, B. C., and Clark, D. K. (2012). Stray light correction algorithm for multichannel hyperspectral spectrographs. *Applied optics*, 51(16):3631–41.
- Granados, M., Ajdin, B., Wand, M., Theobalt, C., Seidel, H.-P., and Lensch, H. P. a. (2010). Optimal HDR reconstruction with linear digital cameras. In *2010 IEEE Computer Society Conference on Computer Vision and Pattern Recognition*, 1(1):215–222.
- ISO (1994). ISO 9358:1994 Optics and optical instruments — Veiling glare of image forming systems — Definitions and methods of measurement.
- Jansson, P. A., Company, D., and Breault, R. P. (1998). Correcting Color-Measurement Error Caused by Stray Light in Image Scanners. *Color and Imaging Conference*, 6(4):69–73.
- Keppens, A., Ryckaert, W., Deconinck, G., and Hanselaer, P. (2010). Modeling high power light-emitting diode spectra and their variation with junction temperature. *Journal of Applied Physics*, 108(4):043104.
- McCann, J. and Rizzi, A. (2007). Veiling glare: the dynamic range limit of HDR images. *B. Rogowitz, T. Pappas, S. Daly, Proc. SPIE*,
- Senawiratne, J., Chatterjee, A., Detchprohm, T., Zhao, W., Li, Y., Zhu, M., Xia, Y., Li, X., Plawsky, J., and Wetzel, C. (2010). Junction temperature, spectral shift, and efficiency in gainn-based blue and green light emitting diodes. *Thin Solid Films*, 518(6):1732–1736.
- Talvala, E.-V., Adams, A., Horowitz, M., and Levoy, M. (2007). Veiling glare in high dynamic range imaging. In *ACM Transactions on Graphics (TOG)*, volume 26, page 37. ACM.
- Wei, J. and Cao, G. (2009). Fast space-varying convolution and its application in stray light reduction. *IS&T/SPIE* ..., 7246:72460B–72460B-11.
- Zong, Y., Brown, S. W., Johnson, B. C., Lykke, K. R., and Ohno, Y. (2005). A Simple Stray-light Correction Matrix for Array Spectrometers. Technical report, NIST.

julian.achatz@fh-koeln.de